

УДК 538.535.327

© 1990

## ФЛУКТУАЦИОННАЯ МОДЕЛЬ ОБЪЕМНОГО ФОТОГАЛЬВАНИЧЕСКОГО ЭФФЕКТА

Б. И. Стурман

Предполагается, что в макроскопически однородной среде имеются пространственные флуктуации различных физических параметров — потенциала, концентрации дефектов, подвижности. Получены явные выражения для постоянного фототока через функции корреляции флуктуаций. Проанализированы условия возникновения и величина фотогальванического эффекта. Обсуждается роль флуктуационных механизмов при интерпретации эксперимента.

1. Фотогальванический эффект (ФГЭ) в кристаллах без центра симметрии был предметом широких экспериментальных и теоретических исследований на протяжении последних 15 лет [1-3]. Он заключается в генерации постоянного тока в однородной среде под действием однородного освещения. Определением ФГЭ служит феноменологическое соотношение для плотности тока [1]

$$j_i = \beta_{int} e_n e_i^* J, \quad (1)$$

где  $e$  — вектор поляризации света,  $J$  — его интенсивность. Тензор  $\beta_{int}$  называется фотогальваническим; число его независимых компонент определяется классом симметрии материала.

В пространственно-однородной среде традиционные механизмы фотоэлектрических явлений, основанные на представлениях о дрейфе и диффузии электронов и дырок [4, 5], не могут приводить к ФГЭ. Возникновение постоянного тока в этом случае связывалось с асимметрией микропроцессов (фотовозбуждения, рекомбинации, рассеяния), а описание ФГЭ осуществлялось с помощью кинетических уравнений. Такая микроскопическая теория в целом адекватна феноменологическому соотношению (1), она способна объяснить величины и поляризационные свойства фототоков и напряжений [1]. Реальные материалы могут содержать макроскопические, хотя и мелкомасштабные неоднородности, т. е. могут быть пространственно-однородными только в среднем. В этом случае, вообще говоря, нельзя исключить механизмов ФГЭ, связанных с дрейфом и диффузией электронов и дырок. Эти процессы задаются стандартными соотношениями для токов,

$$j_n = e (\mu_n n E + D_n \nabla n), \quad j_p = e (\mu_p p E - D_p \nabla p), \quad (2)$$

$n$ ,  $p$  — концентрации электронов и дырок,  $\mu_{n,p}$  — их подвижности,  $D_{n,p} = \mu_{n,p} T/e$  — коэффициенты диффузии. Фотогальванический ток  $j$  надо рассматривать как среднее по пространству значение суммы

$$j = \bar{j}_n + \bar{j}_p \quad (3)$$

при равном нулю среднем поле  $\bar{E} = 0$ . Размер области усреднения должен превышать характерный масштаб пространственной неоднородности.

Существенно, что в (2), (3) поляризация света может входить только через коэффициент поглощения  $\alpha$ . Иными словами, направление  $j$  не может

зависеть от  $\epsilon$ . Поэтому для ФГЭ, обусловленного мелкокомасштабными неоднородностями, общее феноменологическое выражение (1) вырождается в формулу

$$j = \beta J \epsilon, \quad (4)$$

где  $\epsilon$  — единичный полярный вектор, характеризующий свойства среды. В пироэлектриках полярное направление задается спонтанной поляризацией,  $\epsilon = P_s / P_g$ ; в непироэлектрических материалах, где тензор  $\beta_{,ini} \neq 0$ , коэффициент  $\beta = 0$ .

Дрейфо-диффузионные механизмы объемного ФГЭ фактически рассматривались и ранее. В работе [6] на примере периодической одномерной цепочки, состоящей из полупроводниковых пироэлектрических слоев, разделенных непироэлектрическими прокладками с отличной шириной запрещенной зоны  $E_g$ , была показана возможность суммирования фотонапряжений от отдельных элементов. Эта модель позволила качественно объяснить возникновение в слоистых кристаллах ZnS фотонапряжений  $U_{Ph} \gg \gg E_g$  [7]. В [8] исследовалась гипотетическая модель сегнетоэлектрика в виде цепочки  $n-r-n$  переходов. Было показано, что благодаря нелинейности диэлектрической проницаемости возможны неполная компенсация напряжений на  $n-r$  и  $r-n$  элементах структуры и сквозной ток.

В настоящей работе предлагается более общий и во многом более простой подход к описанию ФГЭ, связанного с микрон неоднородностями. Предполагается, что в среде имеются небольшие пространственные флуктуации различных физических параметров — электростатического потенциала, подвижности, концентрации примесей. С помощью итераций найдены явные выражения для  $j$  через функции корреляций флуктуаций. Эти выражения явно показывают условия возникновения эффекта, его величину и зависимость от соотношений параметров. Даны примеры образования необходимых корреляций. Обсуждаются проявления рассмотренных механизмов в эксперименте. Основной упор делается на диэлектрики.

2. Как хорошо известно [5], необходимым условием существования ФГЭ, обусловленного неоднородностями, является наличие двух типов носителей — электронов и дырок. В стационарных условиях концентрации  $n$  и  $p$  подчиняются балансным уравнениям

$$\frac{1}{e} \operatorname{div} j_n = -\frac{1}{e} \operatorname{div} j_p = g - R, \quad (5)$$

в которых  $g$  — скорость фотогенерации,  $R$  — темп рекомбинации. Для определенности мы будем говорить о собственном поглощении и считать  $g = \alpha J / \hbar \omega$  пространственно-постоянной величиной. Рекомбинацию применительно к диэлектрикам естественно связать с примесными центрами. Мы ограничимся одним типом центров с концентрацией  $N$ . Тогда стандартное выражение для скорости рекомбинации имеет вид [9, 10]

$$R = N \frac{\alpha_n \alpha_p (n p - n_0 p_0)}{[\alpha_n (n + n_1) + \alpha_p (p + p_1)]}, \quad (6)$$

где  $n_0, p_0$  — термодинамически равновесные концентрации;  $\alpha_{n,p}$  — коэффициенты захвата;  $n_1, p_1$  — характеристики центра, описывающие тепловое возбуждение. Последние выражаются через  $n_0, p_0$  и равновесную степень заполнения центров  $f_0$ :  $n_1 = f_0^{-1} (1 - f_0) n_0$ ,  $p_1 = f_0 (1 - f_0)^{-1} p_0$ .

Будем считать, что

$$N = \bar{N} (1 + C), \quad \mu_{n,p} = \bar{\mu}_{n,p} (1 + \chi_{n,p}), \quad (7)$$

безразмерные параметры  $C(\mathbf{r})$ ,  $\chi_{n,p}(\mathbf{r})$  описывают отклонения от средних по пространству значений  $\bar{N}$ ,  $\bar{\mu}_{n,p}$ . Концентрации электронов и дырок будем искать в виде

$$n = \bar{n} + \delta n, \quad p = \bar{p} + \delta p, \quad (8)$$

где  $\bar{n}$ ,  $\bar{p}$  есть средние по пространству значения в присутствии освещения. Считая, что для диэлектрика  $\bar{n}$ ,  $\bar{p} \ll N$ , из (5), (6) нетрудно прийти к линейной системе уравнений для возмущений  $\delta n$  и  $\delta p$

$$\begin{aligned} \bar{\mu}_n \Delta \left( \frac{T}{e} \delta n - \bar{n} \varphi \right) &= -\gamma_n \delta n - \gamma_p \delta p - gC, \\ \bar{\mu}_p \Delta \left( \frac{T}{e} \delta p + \bar{p} \varphi \right) &= -\gamma_n \delta n - \gamma_p \delta p - gC. \end{aligned} \quad (9)$$

Здесь  $\varphi(\mathbf{r})$  — электростатический флуктуирующий потенциал,  $\Delta$  — оператор Лапласа,

$$\bar{n} = n_0 + \frac{g}{\alpha_n \bar{N} (1 - f_0)}, \quad \bar{p} = p_0 + \frac{g}{\alpha_p \bar{N} f_0}. \quad (10)$$

Релаксационные параметры  $\gamma_n, \gamma_p$  задаются выражениями

$$\begin{aligned} \gamma_n &= S^{-1} \alpha_n \bar{N} (1 - f_0)^2 (\alpha_p p_1 \bar{N} + g), \quad \gamma_p = S^{-1} \alpha_p \bar{N} f_0^2 (\alpha_n n_1 \bar{N} + g), \\ S &= \alpha_n n_1 f_0 \bar{N} + \alpha_p p_1 (1 - f_0) \bar{N} + g. \end{aligned} \quad (11)$$

Как видно из (9), малость возмущений  $\delta n$ ,  $\delta p$  по сравнению с  $\bar{n}$ ,  $\bar{p}$  требует малости флуктуаций потенциала  $e\varphi \ll T$ . Для пренебрежения экранировкой потенциала свободными носителями необходима малость характерного размера флуктуаций  $a$  по сравнению с дебаевскими радиусами  $r_n^D = (\epsilon T / 4\pi \bar{n} e^2)^{1/2}$  и  $r_p^D = (\epsilon T / 4\pi \bar{p} e^2)^{1/2}$ , где  $\epsilon$  — диэлектрическая проницаемость. В диэлектриках это условие может выполняться в широком диапазоне интенсивности света. Экранировка потенциала, очевидно, уменьшает ФГЭ.

Система (9) легко решается с помощью Фурье-преобразования. Далее с помощью соотношения

$$\mathbf{j} = e \bar{\mu}_n \bar{n} \left( z_n \mathbf{E} + \frac{\delta n}{\bar{n}} \mathbf{E} + \frac{T}{e} z_n \nabla \frac{\delta n}{\bar{n}} \right) + e \bar{\mu}_p \bar{p} \left( z_p \mathbf{E} + \frac{\delta p}{\bar{p}} \mathbf{E} - \frac{T}{e} z_p \nabla \frac{\delta p}{\bar{p}} \right), \quad (12)$$

следующего из (2), (7), находится ток. Конечное выражение для  $\mathbf{j}$  состоит из трех вкладов, отвечающих корреляциям между  $N$  и  $\mathbf{E}$ ,  $N$  и  $\mu$ ,  $\mathbf{E}$  и  $\mu$ . Записанное через Фурье-компоненты флуктуирующих величин, оно имеет вид

$$\mathbf{j} = egL_D^2 \sum_{\mathbf{k}} \frac{i\mathbf{k}}{(k^2 L_D^2 + 1)} \left[ \frac{2e}{T} C_{\mathbf{k}} c_{\mathbf{k}}^* + \frac{ez}{T} (z_n - z_p)_{\mathbf{k}} c_{\mathbf{k}}^* - (z_n - z_p)_{\mathbf{k}} C_{\mathbf{k}}^* \right], \quad (13)$$

где  $L_D^{-2} = L_n^{-2} + L_p^{-2} = \gamma_n D_n^{-1} + \gamma_p D_p^{-1}$  — эффективная длина диффузии, а  $z(g)$  — безразмерный параметр.

$$z = [\alpha_p p_1 (1 - f_0) \bar{N} - \alpha_n n_1 f_0 \bar{N} + g (1 - 2f_0)] / [\alpha_p p_1 (1 - f_0) \bar{N} + \alpha_n n_1 f_0 \bar{N} + g], \quad (14)$$

принимающий постоянное значение в области больших и малых интенсивностей света. Малые интенсивности, очевидно, отвечают малым концентрациям фотовозбужденных носителей по сравнению с  $n_0$  и  $p_0$ .

Из (13) видно, что максимальное значение тока достигается при  $L_D \gg a$ , где  $a$  — характерный размер флуктуаций. В этом пределе  $j$  не зависит от длин диффузии. При малой эффективной длине диффузии ток приобретает малость  $(L_D/a)^2$ . Отметим, что значение  $L_D$  определяется минимальной из длин  $L_n, L_p$ . В пренебрежении вкладом одной из компонент из-за малости  $\mu$  или  $\gamma^{-1}$  ток обращается в нуль. Вклады в ток, связанные с флуктуациями подвижностей, отличны от нуля только при различной относительной величине флуктуаций.

Формула (13) может быть записана в виде среднего в реальном пространстве. Ограничимся для простоты случаем  $L_D \ll a$ , когда связь  $j$  с корреляциями флуктуаций видна особенно явно

$$j = egL_D^2 \left[ \frac{2e}{T} \overline{CE} + \frac{ez}{T} \overline{(x_n - x_p)E} + \overline{(x_n - x_p) \nabla C} \right]. \quad (15)$$

При переходе к случаю  $L_D \gg a$  в пространственном усреднении участвует также экспонента вида  $\exp(|r - r'| L_D^{-1})$ .

Как видно из (15), для существования ФГЭ необходимо выполнение вполне определенных условий корреляции между полярными и скалярными величинами. Именно в этом должно проявляться отсутствие у среды центра симметрии. Вполне очевидно, что наличие других типов полярных корреляций также даст вклад в ток.

Важной величиной, характеризующей ФГЭ, является фотоиндуцированное поле

$$E_0 = -j/e (\bar{\mu}_n \bar{n} + \bar{\mu}_p \bar{p}), \quad (16)$$

отвечающее равенству нулю полного тока — фотогальванического плюс омического [1]. Такое поле наводится при освещении изолированного кристалла. Наводимое фотонапряжение при этом пропорционально размеру образца. В случае малой темновой проводимости ( $n_0, p_0 \ll \bar{n}, \bar{p}$ ) поле  $E_0$  не зависит от интенсивности света и является характеристикой материала.

Произведем оценки  $j$  и насыщенного поля  $E_0$ . Будем считать, что реализуется наиболее благоприятная для ФГЭ ситуация, когда степень заполнения уровней  $f_0 \simeq 1 - f_0 \simeq 1/2$ , и, кроме размера  $a$ , можно говорить о типичных величинах флуктуаций  $\varphi_0, C_0, x_0$ . Из (13), (15), (16) имеем

$$j \simeq \frac{egaL_D^2}{(L_D^2 + a^2)} \left[ \frac{e\varphi_0}{T} (C_0 \xi_{NE} + x_0 \xi_{\mu E}) + C_0 x_0 \xi_{\mu N} \right], \quad (17)$$

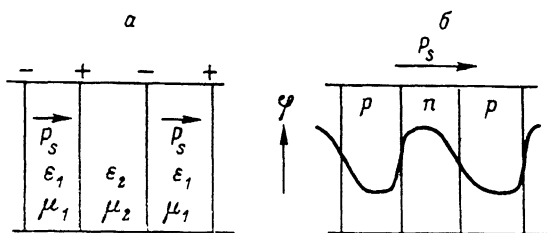
$$E_0 \simeq \frac{a}{(L_D^2 + a^2)} \left[ \varphi_0 (C_0 \xi_{NE} + x_0 \xi_{\mu E}) + x_0 C_0 \frac{T}{e} \xi_{\mu N} \right].$$

Здесь  $\xi$  — параметр асимметрии, характеризующий относительную степень корреляции флуктуаций; при полной скоррелированности флуктуаций его величина максимальна  $|\xi| = 1$ , в отсутствие корреляций  $\xi = 0$ . Возможные величины  $\xi$  будут обсуждаться ниже. Из (17) видно, что поле максимально при  $L_D \simeq a$ . При этом фотонапряжение  $U_{ph}$ , приходящееся на одну флуктуацию, составляет  $e\varphi_0 \xi$  или  $C_0 T \xi$ . При нарушении оптимальных условий  $U_{ph}$  довольно быстро убывает.

Полярность кристаллической структуры на уровне элементарной ячейки еще не гарантирует скоррелированности макроскопических флуктуаций. Без дополнительных предпосылок параметр асимметрии  $\xi$  может быть равен нулю. На рисунке приведены примеры ситуаций с  $\xi \neq 0$ . Пусть пироэлектрик состоит из одинаково ориентированных доменов (хвост к голове), имеющих спонтанную поляризацию  $P_s$  и отделенных друг от друга участками с измененными свойствами (см. рисунок, а). Такими участками могут быть, например,  $90^\circ$  домены или межфазные прослойки с измененными свойствами [6, 7, 11]. Даже за счет анизотропии подвижностей или диэлектрической проницаемости пространственные изменения  $E$  и  $\mu$  оказываются скоррелированными. Здесь флуктуация потенциала  $\varphi_0 \simeq \simeq 4\pi P_s a / \epsilon$ , а параметр асимметрии  $\xi_{\mu E}$  может достигать значения порядка единицы. За счет различия концентраций дефектов в доменах и прослойках может быть значительным и  $\xi_{EN}$ . Корреляция  $\mu$  и  $\nabla N$  может возникнуть при ионном дебаевском экранировании флуктуаций потенциала в процессе роста кристаллов. Другой пример скоррелированных флуктуаций связан нелинейной зависимостью  $P_s(E)$  в сегнетоэлектрике [8]. Если представить, что сегнетоэлектрик состоит из последовательности  $n-p-n$  переходов, то толщины  $n-p$  и  $p-n$  слоев будут несколько отличаться (см. рисунок, б). Это отвечает  $NE$ -корреляциям. Параметр  $\xi_{NE}$  может здесь достигать значений  $10^{-1} - 10^{-2}$ . Приведенные примеры, конечно, не исчерпывают имеющихся возможностей.

Следует заметить, что возможно искусственное создание слоистых структур с высокими  $\xi$  и  $E_0$  для получения высоких фотонапряжений. Такие структуры могут быть получены как на основе сегнетослоев, так и с помощью искусственного профилирования концентраций дефектов в неполярных материалах.

3. Во многих сегнето и пьезоэлектриках ФГЭ проявляется в виде продольных ( $\mathbf{j} \parallel \mathbf{P}_s$ ) токов и фотонапряжений, превышающих ширину запрещенной зоны [1, 2]. В таких сегнетоэлектриках, как  $\text{LiNbO}_3$ ,  $\text{LiTaO}_3$ , фотоиндуцированные поля достигают значений  $10^4$ – $10^5$  В/см. Обсудим возможную роль в наблюдаемых явлениях рассмотренного дрейфово-диффузионного механизма ФГЭ и механизмов, связанных с асимметрией микропроцессов [1]. Микромеханизмы, способные учесть асимметрию среды уже на уровне элементарной ячейки, обладают рядом преимуществ. Эти преимущества связаны не только с возможностью объяснения богатых



поляризационных свойств фототоков, предсказываемых феноменологической теорией (см. соотношение (1)) и обнаруженных во многих экспериментах [1, 2, 12, 13], но и проявляются при интерпретации величины эффекта, его температурных и спектральных свойств. Что касается дрейфово-диффузионного механизма, то предельные оценки коэффициента Гласса  $G = j/\alpha J$  и фотоиндуцированного поля  $E_0$  могут быть записаны в виде

$$G_{\max} \approx \frac{ea}{\hbar\omega} \xi, \quad E_0^{\max} \approx \frac{\varphi_0 \xi}{a}. \quad (18)$$

Произведение  $GE_0$  дает, как известно [1], КПД преобразования световой энергии в электрическую. В эксперименте эта величина не превосходит  $10^{-4}$ . Учитывая, что заведомо  $e\varphi_0 < E_g \sim \hbar\omega$ , получаем  $\xi \leq 10^{-2}$ . Наблюдаемые в экспериментах значения  $G \approx 10^{-9}$  см/В,  $E_0 \approx 10^5$  В/см могут объясняться (18) только на пределе применимости, когда амплитуда флуктуаций внутреннего макроскопического поля  $\varphi_0/a \approx 10^7$  В/см, а размер флуктуаций  $a < 10^{-6}$  см. Наличие столь больших флуктуаций в совокупности с требованием  $a \approx L_D$  и необходимостью равноправного участия электронов и дырок при примесном возбуждении ФГЭ представляется маловероятным. Труднообъясним и противоположный ход температурной зависимости  $G$  и фотопроводимости  $\sigma_{ph}$ , обнаруженный в ряде ФГ активных сегнетоэлектриков.

Несмотря на пессимистическую оценку возможностей дрейфо-диффузионного механизма, для объяснения наиболее ярких особенностей ФГЭ, он, по нашему мнению, может иметь область применимости. Прежде всего это относится к слоистым материалам и сегнетоэлектрикам с умеренными значениями фотоиндуцированных полей  $E_0 \leq (10^1 - 10^3)$  [6, 7, 14]. Разумеется, это не ограничивает использование для интерпретации ФГЭ микромеханизмов.

#### С п и с о к л и т е р а т у р ы

- [1] Белиничер В. И., Стурман Б. И. // УФН. 1980. Т. 130. № 3. С. 415–458.
- [2] Fridkin V. M. // Ferroelectrics. 1984. V. 53. P. 169–187.
- [3] Ивченко Е. Л., Пикус Г. Е. // Проблемы современной физики. Л.: Наука, 1980. 275 с.
- [4] Рывкин С. М. Фотоэлектрические явления в полупроводниках. М.: Физматгиз, 1963. 494 с.

- [5] Тауц Я. Фото- и термоэлектрические явления в полупроводниках. М.: ИЛ, 1962. 253 с.
- [6] Neumark G. E. // Phys. Rev. 1962. V. 125. № 3. P. 838—845.
- [7] Лайнс М., Гласс А. Сегнетоэлектрики. М.: Мир, 1981. 736 с.
- [8] Сандомирский В. Б., Халилов Ш. С., Ченский Е. В. // ФТТ. 1982. Т. 24. № 11. С. 3318—3326.
- [9] Бонч-Бруевич В. Л., Калашников С. Г. Физика полупроводников. М.: Наука, 1977. 672 с.
- [10] Пикус Г. Е. Основы теории полупроводниковых приборов. М.: Наука, 1965. 448 с.
- [11] Стурман Б. И. // ФТТ. 1982. Т. 24. № 10. С. 3079—3084.
- [12] Есаян С. Х., Леманов В. В., Максимов А. Ю. // ФТТ. 1984. Т. 26. № 3. С. 655—658.
- [13] Одулов С. Г. // Письма в ЖЭТФ. 1982. Т. 35. № 1. С. 10—12.
- [14] Малхасян С. С., Стефанович С. Ю., Захаров Н. А., Веневцев Ю. Н. // ДАН СССР. 1979. Т. 248. № 1. С. 87—89.

Институт автоматки и электрометрии  
СО АН СССР  
Новосибирск

Поступило в Редакцию  
10 июля 1989 г.  
В окончательной редакции  
12 декабря 1989 г.